

明石工業高等専門学校 正員 角田 忍  
立命館大学 正員 明石外世樹

### 1. まえがき

フレッシュコンクリートの物性をレオロジー的に解析するために必要な資料を得るために、現在のところ様々な測定方法が開発されているが、特にコンクリートを流动させ定常流として取扱う場合が多い。この様な方法はコンクリートと測定装置壁面との境界におけるすべりをどのように解決するかによって各装置の分かれることである。本研究は、振動式回転粘度計によりフレッシュコンクリートを正確振動せることによて諸物性を測定することを目的としており、今回の報告はその基礎的資料を得るためにベーンせん断試験機および振動式回転粘度計を用いて粘弹性の性質が振幅によってどのような影響を受けるのかを、ペースト、モルタルについて振動特性を調べた。

### 2. 実験概要

(2.1) 使用材料；セメントは普通ポルトランドセメント、細骨材は豊浦産の標準砂、粗骨材は比重2.56の川砂利を5~20mmにフルイ分けたものを表乾状態で使用した。

(2.2) 配合；ペーストは、水セメント比30, 35, 40, 45, 50%モルタルは、セメント砂比1:0.5, 1:1.0, 1:1.5, 1:2.0 水セメント比は30.35, 40, 45, 50%にした。コンクリートは水セメント比35, 40, 45, 50%, セメント:細骨材:粗骨材を1:1:1, 1:1:2のものをベーンせん断試験にのみ用いた。

(2.3) 実験装置；実験用に振動式回転粘度計は図-1に示す。図中の $R_1, R_2$ は各々38.5, 53.0mm, ピアノ線の直径は2.3~5mm, 長さは、67~69cmの範囲で用いた。外円筒の振幅は偏心カムを換えることにより変り、振動数は可変モーターの回転数を変えることにより変化させた。ベーンせん断試験機は土質実験に用いられているものを微少荷重が測定できトルクを自己記録するよう多くの改造したものを使用した。資料容器は直径20cm、高さ50cmのアラスチック製で、ベーンの翼は幅5cm、高さ10cmの十字翼を使用した。

(2.4) 解析方法；振動式回転粘度計により図-2のようなリサージュ图形を画きMarcoritzの式<sup>(1)</sup>によて $G', G''$ 等を求めた。 $\omega < 10 \text{ rad/s}$ の場合

$$G' = \eta' \omega = \frac{(A_1 \omega^2 - C_1) \pi}{x^2 + y^2}, \quad G'' = \eta'' \omega = \frac{(A_1 \omega^2 - C_1) \chi}{x^2 + y^2} \quad (1) \quad A_1, C_1 \text{ は形状係数}$$

$x = \sin \phi / p, \quad y = -\cos \phi / p$   
 $p$ および $\sin \phi$ 中には図-1 外筒のゆれより求める。ベーンのゆれせん断試験によるせんれ断力ではベーンの回転によて生じるトルクMから次式によて求めた。 $(H: \text{ベーンの高さ})$

$$T = M / \pi D^2 \left( \frac{H}{2} + \frac{D}{2} \right) \quad (2)$$

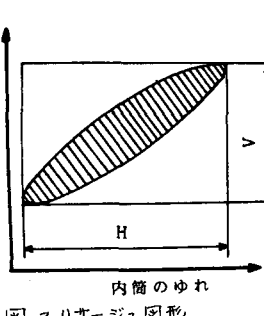


図-2 リサージュ图形

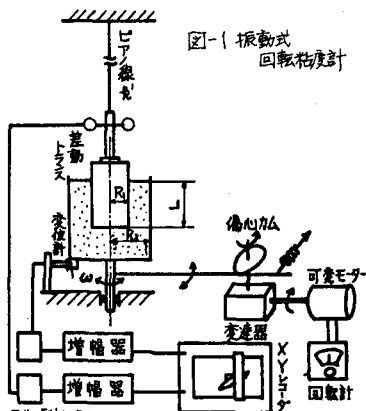


図-1 振動式回転粘度計

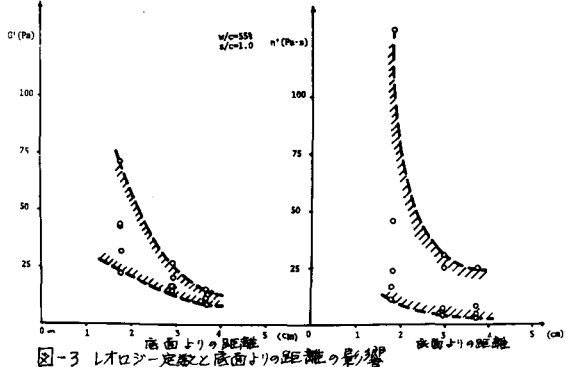


図-3 レオロジー定数と底面からの距離の影響

### 3. 結果および考察

回転粘度計を用いた場合底面の影響を考慮する必要がある。図-3はモルタル実験の結果であるが図より底面から3.5cm以上離しておかなければあることが解る。また図-2のようないステリシス曲線によって解析する場合、粘弹性の特徴が線型である必要がある。そのためには資料の応力-ひずみ関係を調べる必要があり、本研究ではベーンせん断試験によってある程度の傾向を求めた。図-4,5は水セメント比35, 45%のせん断応力-回転角の関係を示したものである。図から配合によって多少の差はあるが

回転角が3°以内であればほぼ線型として扱えることが解った。回転粘度計によって求めたヒステリシス曲線は4°程度までは図-2のようだ円形になつた。図-6,7はペースト試験の結果である。動的弾性率 $G'$ 、動的損失 $\eta'$ は、振幅が $\gamma = 0.0566 \text{ rad}$  ( $3.25^\circ$ ) のときは、水セメント比が大きくなるほど

減少することを示してい

る。しかし振幅が大きくなると ( $4^\circ$ 以上)

非線型領域に入るため

にこの傾向は見られない。

図-8はモルタル試験の結果である。

$G'$ ,  $\eta'$ とも周波数に依存することが解る。

図-9はペーストおよ

びモルタルの経時変化を示している。 $\eta'$ が経

時に増加することが

解る。しかし $\eta'$ が減少

していふことから今後

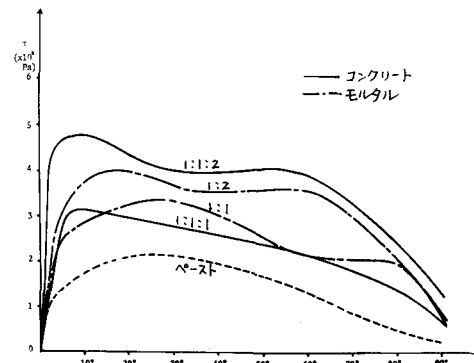


図-4 せん断応力とベーンの回転角の関係 ( $W/C = 40\%$ )

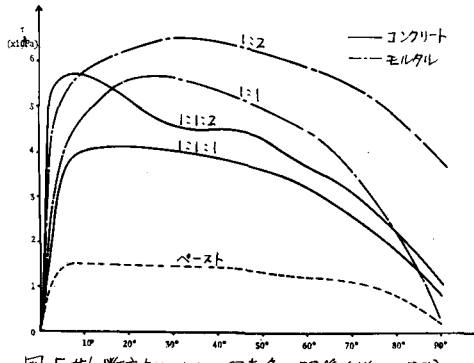


図-5 せん断応力とベーンの回転角の関係 ( $W/C = 35\%$ )

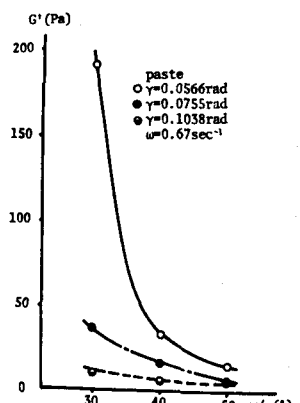


図-6 動的弾性率と振幅との関係 (ペースト)

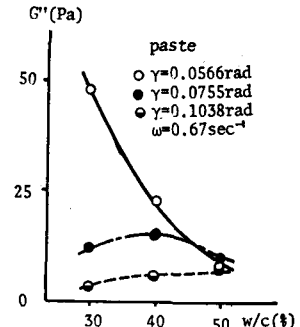


図-7 動的損失と振幅との関係 (ペースト)

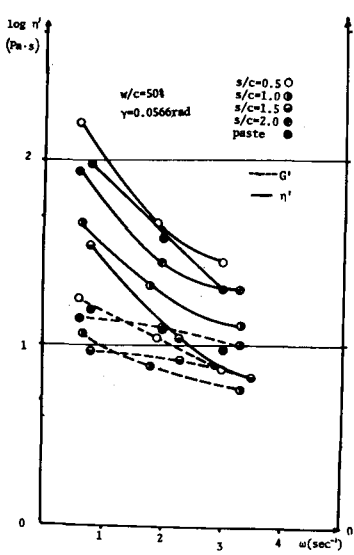
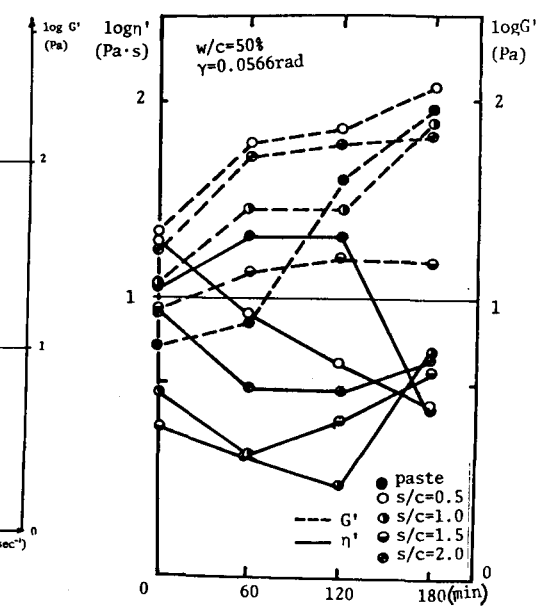


図-8 動的粘性率と周波数との関係



更にデータを多く取って行く必要がある。参考文献  
り角田ほか  
第34回年講会議集

図-9 レオロジー定数の経時変化 (3時間まで)